

## ドブカスベの形態測定学的研究

加藤史彦

### Morphometric Studies of the Deep Sea Skate, *Bathyraja smirnovi* (SOLDATOV et PAVLENKO)

FUMIHIKO KATO

#### Abstract

*Bathyraja smirnovi* (SOLDATOV & PAVLENKO), one of the important skates in Hokkaido, is distributed from the vicinity of Okhotsk Sea to the central part of the Japan Sea. It is also interesting ecologically because of its high trophical status in the deep water of the Japan Sea. Sixty male and fourtytwo female samples were collected by trawling operation on board the R/V *Kaiyo-Maru* in the spring of 1970.

Bodily proportional measurements were made for the selected twentyseven characters (Table 2) in all the specimens and correlation coefficients were calculated between the possible combination of these. Then the correlation matrices were analyzed by the factor analysis method.

The results obtained are as follows :

- 1) Two factors affecting the size of the morphometric characters were detected.
- 2) The first factor ( $F_1$ ) which has an important effect upon all character is related to the growth.
- 3) The second factor ( $F_2$ ) which has an effect upon certain characters is related to the maturity.
- 4) The 27 morphometric characters for males were classified into four groups by the  $K_1$  (load of  $F_1$ )- $K_2$  (load of  $F_2$ ) diagram as follows :

Group A, effected solely by  $F_1$  includes T. L., Ta. L., T. W., M. W., E. L., and Sp. L.

Group B, effected greatly by  $F_1$  with slight oppression by  $F_2$  for the growth of the characters, includes D. W., D. L., T. D., P2.W., H. L., Bt. Or., Bt. Sp., and Ov. IG.

Group C, effected  $F_1$  with significant oppression of the growth of the characters by  $F_2$ , includes P.Oc. L., P. N. L., P. Or. L., and In. N. D.

Group D, effected by  $F_1$  with the acceleration of the growth of the characters by  $F_2$ , includes D2.L., D 1.H., P 2.L., and C. L.

- 5) The five characters (D1-T. T., Post D. L., P 1. L., D2. H., and Bt. F. T. P 1.), not belonging to the above groups, must be subjected to more precise measurements.

## I. まえがき

ドブカスベ *Bathyraja smirnovi* (SOLDATOV et PAVLENKO) はオホーツク海および日本海の底層に生息し(石山, 1967), 北海道においては量的にみてメガネカスベについて重要なカスベとされており(上野, 1965), また日本海の底層の食物連鎖においては最上位を占め(沖山, 未発表), 生態学的にみても興味の深い種である。ISHIYAMA (1958) は *B. smirnovi*において2亜種の存在を報告したが, 1967年にはその識別のためにさらに精密な研究を必要とすると注釈している(ISHIYAMA, 1967)。

筆者は1970年6月, 「日本海に関する総合研究」の一環としておこなわれた開洋丸によるトロール操業試験において多数の本種の標本を得た。今回, これら的一部について各種の外部形態の測定をおこない, それらの計測形質を因子分析法にて群別し, カスベ類の生態研究または分類や系統群の判別のための形態測定における適切な測定形質選択のための一指針を得るとともに, 各形質の大きさに影響を与える因子についての検討をおこなつたのでここに報告する。

本文に先だつて, この研究のきっかけを与えられ終始ご指導をいただいた沖山宗雄技官および本文のご校閲をいただいた伊東祐方博士に厚くお礼申し上げる。また標本採集にご努力いただいた陣野船長をはじめとする開洋丸乗組員一同, 乗船調査にあたられた日本研・研究員諸氏および測定・原図の作製にご協力いただいた本間陸子技官に心から謝意を表する。

## II. 材料と方法

採集海域の大和堆・北大和堆・隱岐海嶺・白山瀬に44地点を設定し, 開洋丸によりトロール操業をおこない, 41地点から雄218尾, 雌178尾, 合計396尾の標本を採集した。得られた標本のうち雄60尾, 雌42尾を凍結して持ちかえり, 解凍後外部形態の測定をおこなつた。これらの

第1表 供試個体の採集月日・位置・水深

Table 1 Data of the collection of the materials  
used in this study

Station No.	Date	Location		Depth (m)	No. of ♂ samples	No. of ♀ samples
		N	E			
9	6/3	39°14.7'	134°47.1'	445	5	6
10	6/3	39°07.2'	134°47.3'	590	9	2
11	6/3	39°06.5'	134°51.1'	800	12	8
12	6/4	39°55.0'	134°11.2'	870	3	2
14	6/4	40°09.0'	134°33.6'	840	1	4
15	6/5	40°02.5'	134°12.9'	772		1
16	6/5	40°08.5'	133°57.5'	1,105		2
17	6/5	40°03.0'	133°54.3'	1,015		1
18	6/6	39°47.5'	133°39.5'	560	4	4
19	6/6	39°54.7'	133°48.2'	470	5	3
20	6/6	39°55.7'	133°46.9'	485	15	7
22	6/7	39°44.3'	133°52.9'	740	2	1
23	6/7	39°49.2'	133°52.6'	755	2	
27	6/9	39°45.3'	133°55.0'	745	2	
				Total	60	42

測定標本の採集位置・水深・日付および尾数をまとめて第1表に示した。選んだ計測形質は27個であり、その形質番号(No. C)、名称および略号を第2表に示した。なお、名称のつけ方については、上野(1965)、岡田・小林(1968)、HUBBS & ISHIYAMA(1968)に従つた。また、測定は HUBBS & ISHIYAMA(1968)により規定された方法に準じて、測定板・ノギスおよびデバイダーを用いてミリメートルの単位でおこなつた。雄の測定結果は付表1に示した。

雄の27個の形測形質間の相関係数を求め、その相関係数行列(付表2)について因子分析をおこなつた。分析の手法は鳥居・高橋・土肥(1969)、LAWLY & MAXWELL(1963)に従つた†。

第2表 測定した形質の名称と番号と略号

**Table 2** Numbers and names of the characters measured, and the key for the abbreviations used in this paper

No. of Character	Names of the bodily proportional measurements	Symbols
1	全長	Total length
2	体盤幅	Disk width
3	体盤長	Disk length
4	尾部長	Tail length
5	尾部基底幅	Tail width, end $P_2$
6	尾部基底高	Tail depth, end $P_2$
7	第1背鰭前端～尾部端距離	$D_1$ origin to tail tip
8	第2背鰭後端～尾部端距離	Postdorsal length
9	第1背鰭基底長	$D_1$ basal length
10	第2背鰭基底長	$D_2$ basal length
11	第1背鰭高	$D_1$ vertical height
12	第2背鰭高	$D_2$ vertical height
13	胸鰭軟骨条前端間隔	Between front tips, $P_1$
14	腹鰭幅	$P_2$ width
15	腹鰭長	$P_2$ length
16	頭長	Head length
17	眼窩～吻端距離	Preocular length
18	鼻孔～吻端距離	Prenarial length
19	口～吻端距離	Preoral length
20	鼻孔間隔	Internarial distance
21	口幅	Mouth width
22	眼径	Eyeball length
23	眼窩間隔	Between orbits
24	噴水孔間隔	Between spiracles
25	噴水孔長	Spiracle length
26	鰓裂間隔	Over 1st gill-slits
27	交尾器長	Clasper length

$D_1$ ; first dorsal fin

$D_2$ ; second dorsal fin

$P_1$ ; pectoral fin

$P_2$ ; pelvic fin

† 計算の一部は農林研究計算センターの電子計算機により、プログラムは野中(1969)を利用した。

## III. 結 果 と 考 察

## 1. 計測形質の群別

雄60個体の27形質の測定結果、および27形質相互間の相関係数行列をそれぞれ付表1・付表2に示した。これらの相関係数はいずれも統計的に有意であった。ついで相関係数行列について因子分析をおこない因子負荷量  $K_s$  を第2次 ( $s = 2$ ) まで求めた(第3表)。なお第2次の剩余値はかなり小さいので計算は第2次で打ち切つた。すなわち相関係数に関与する要因の大部分は第2次までの因子負荷量に含まれることになる。また第1因子 ( $F_1$ ) はすべての形質に大きく関与する共通因子 (common factor) であり、第2因子 ( $F_2$ ) は特定の形質にのみ関与する因子 (unique factor) であることが示される。

第3表 各形質の因子負荷量 ( $K_1$ ,  $K_2$ )Table 3 Factor loads ( $K_1$ ,  $K_2$ ) of each character

No. of character	1	2	3	4	5	6	7	8	9
$K_1$	0.9917	0.9942	0.9972	0.9925	0.9756	0.9824	0.9656	0.6954	0.9807
$K_2$	-0.0253	0.0769	0.0708	-0.0109	0.0240	0.1072	-0.2127	-0.1176	-0.0617
No. of character	10	11	12	13	14	15	16	17	18
$K_1$	0.9823	0.9653	0.8731	0.9432	0.9789	0.9698	0.9867	0.9832	0.9757
$K_2$	-0.1291	-0.1088	-0.0324	0.0416	0.0864	-0.1210	0.0743	0.1431	0.1435
No. of character	19	20	21	22	23	24	25	26	27
$K_1$	0.9786	0.9787	0.9911	0.9649	0.9922	0.9943	0.9783	0.9955	0.9154
$K_2$	0.1364	0.1379	0.0043	-0.0052	0.0608	0.0599	0.0083	0.0847	-0.1472

第1因子の負荷量  $K_1$  と第2因子の負荷量  $K_2$  でつくられる平面に、各形質を投影すると第1図となる。これを用いて27の形質を群別すると次のとおりである。

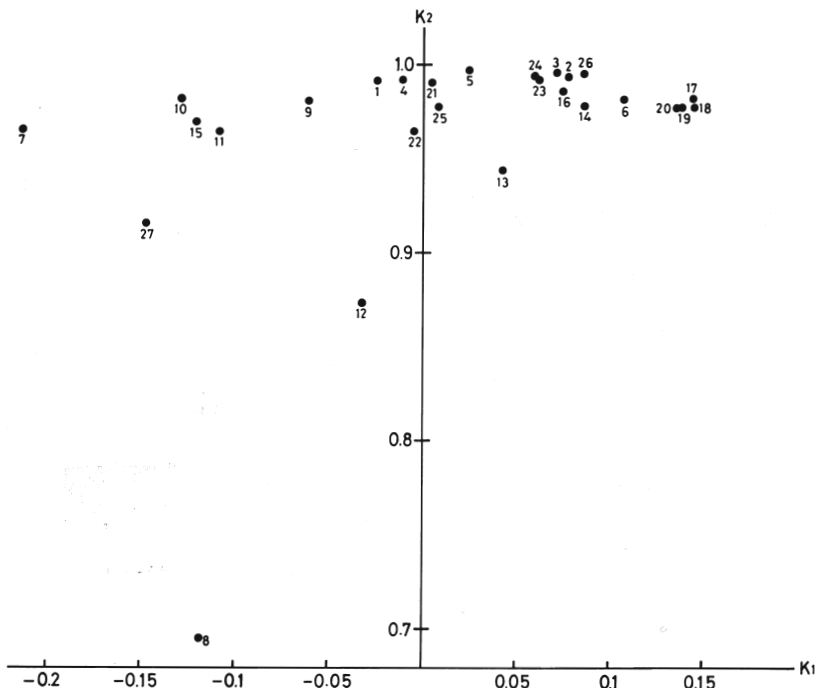
A群；No. 1. 全長(T.L.), No. 2. 尾部長(Ta.L.), No. 5. 尾部基底幅(T.W.), No. 21. 口幅(M.W.), No. 22. 眼径(E.L.), No. 25. 噴水孔長(Sp.L.)………第1因子  $F_1$  によつてのみ説明されるグループ。

B群；No. 2. 体盤幅(D.W.), No. 3. 体盤長(D.L.), No. 6. 尾部基底高(T.D.), No. 14. 腹鰓幅(P2.W.), No. 16. 頭長(H.L.), No. 23. 眼窓間隔(Bt.Or.), No. 24. 噴水孔間隔(Bt.Sp.), No. 26. 鰓裂間隔(Ov. 1G.)………第1因子  $F_1$  によつて大部分、第2因子  $F_2$  によつてわずかに影響うけるグループ。 $F_2$  の働きはD群に対するものとは逆方向である。

C群；No. 17. 眼窓一吻端距離(P.Oc.L.), No. 18. 鼻孔一吻端距離(P.N.L.), No. 19. 口一吻端距離(P.Or.L.), No. 20. 鼻孔間隔(In.N.D.)……… $F_1$ ・ $F_2$  によつて影響をうけるグループ。 $F_2$  の働きはD群に対するものと逆方向である。

D群；No. 10. 第2背鰓基底長(D2.L.), No. 11. 第1背鰓高(D1.H.), No. 15. 腹鰓長(P2.L.), No. 27. 交尾器長(C.L.)……… $F_1$ ・ $F_2$  によつて影響をうけるグループ。 $F_2$  の働きはB・C群に対するものと逆方向である。

No. 7. 第1背鰓前端一尾部端距離(D1.—T.T.), No. 8. 第2背鰓後端一尾部端距離(Post D.L.), No. 9. 第1背鰓基底長(D1.L.), No. 12. 第2背鰓高(D2.H.), No. 13. 胸鰓軟骨条前端間隔(Bt.F.T.P1.)は上記4群に属さず、相互の関係も離散的で1つの群をつくらない。

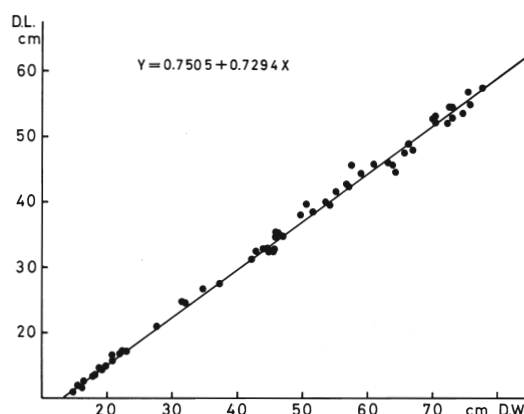


第1図  $K_1-K_2$  平面に投影した各形質  
Fig. 1 Distributions of all characters on the  $K_1-K_2$  diagram.

## 2. 形質の大きさに関する因子の検討

第1因子  $F_1$  はすべての形質に関与しており、その度合も大きい (Table. 3). MATSAKIS (1959) が等脚類 (*Idotea viridis*) について論じたと同様に、ドブカスベにおいても  $F_1$  は一般的な大きさの因子、すなわち単なる成長の因子と推定される。

$F_1$  だけによって説明される A 群の形質と、 $F_1$  によってほとんど説明される B 群の形質の代表として、D.W. と D.L. を選び、その関係をみると (第2図)，直線関係となつておる、雄と



第2図 D.W. (X) と D.L. (Y) の関係  
Fig. 2 The relationship between D.W. (X) and D.L. (Y)

第4表 体盤幅(X)と各形質(Y)との直線回帰式の回帰係数(b)

Table. 4 Regression coefficient (b) of the linear relationship between D.W. (X) and each character (Y)

No. of character	1	3	4	5	6	7	8	9	10
♂	1.2636	0.7296	0.5050	0.0572	0.0367	0.1087	0.0165	0.0443	0.0556
♀	1.2593	0.7644	0.4561	0.0545	0.0335	0.0934	0.0136	0.0408	0.0384
No. of character	11	12	13	14	15	16	17	18	19
♂	0.0408	0.0365	0.0342	0.1317	0.1810†	0.2939	0.2029†	0.1968†	0.1597
♀	0.0319	0.0319	0.0395	0.1469	0.1259	0.3070	0.2246†	0.2228†	0.1793†
No. of character	20	21	22	23	24	25	26		
♂	0.1009	0.1288	0.0291	0.1148	0.1014	0.0494	0.2881		
♀	0.1096	0.1184	0.0270	0.1280	0.1053	0.0528	0.3023		

†は直線回帰式をあてはめるのが不適当であることを示す。

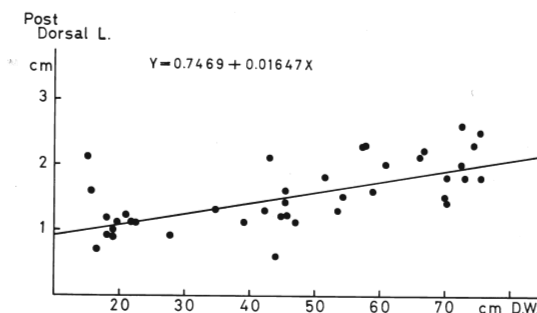
† indicates the character not available the linear regression line

雌において差がない(第4表)。したがつて、外部形態の大きさの差で分類や系統群の判別を行なう場合、A群・B群に含まれる形質はその相互間が直線関係であるので容易に修正平均値の差の検定(共分散分析)が利用できる。A群・B群には Tail L.・M.W.・E.L. および Sp. L. などの機能的働きを持つた形質が多く含まれることが注目される。

D.W.(X)とF<sub>1</sub>による影響を一番受けにくい形質である Dost D.L.(Y)との関係は

$$Y = 0.7496 + 0.01647X$$

となり(第3図)、回帰係数は0とは有意に異なるが、成体における大きさがPost D.L.と同程度の他の形質にくらべると、この値は小さく、この形質は相対的成长の悪い形質といえる。



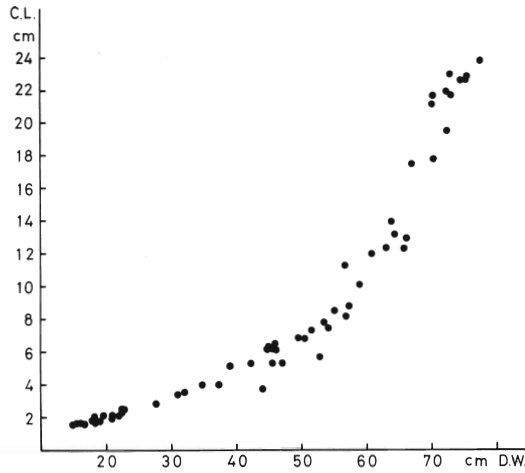
第3図 D.W.(X)とPost D.L.(Y)の関係

Fig. 3 The relationship between D.W. (X) and Post D.L. (Y)

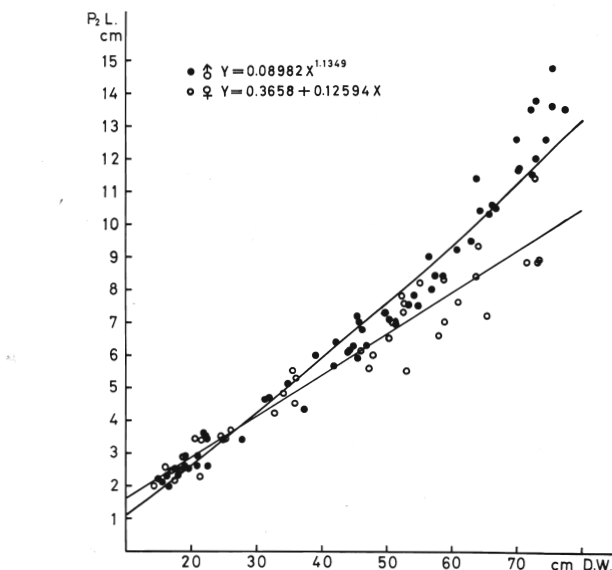
第2因子F<sub>2</sub>によつて影響をうけるD群からC.L.を選んでD.W.との関係を求めると、第4図のようになる。ドブカスベの交尾器はアカエイにおけるような段階的成长(横田、1952)は示さず、D.W. 50—60cmにおいて急激に成長する。D.W.(X)とP2.L.(Y)との関係を示した第5図からも明らかのように、雄においてはXとYとの関係はC.L.の場合と同様に、右肩上がりの曲線で、

$$Y = 0.08982 X^{1.1349}$$

となるのに対して雌においては直線関係で、



第4図 D.W. (X) と C.L. (Y) の関係  
Fig. 4 The relationship between D.W. (X) and C.L. (Y)



第5図 D.W. (X) と P2.L. (Y) の関係  
Fig. 5 The relationship between D.W. (X) and P2.L. (Y)

$$Y = 0.3658 + 0.12594 X$$

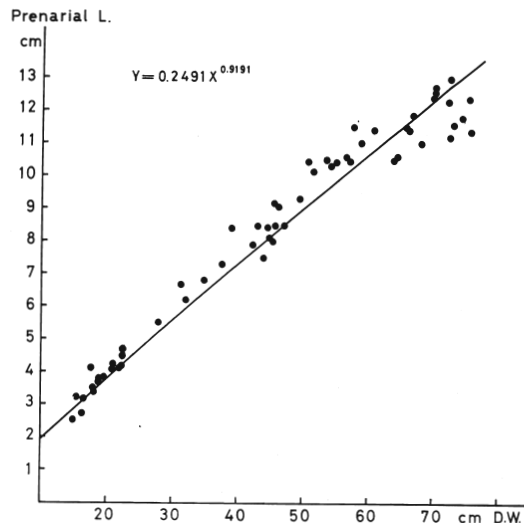
となる。

$F_2$  はD群の形質に対して雄では影響を与え、雌では与えないことから、 $F_2$  は少なくとも雄の成熟に関連した要因であると考えられる。

$F_2$  によってD群と逆の方向の影響をうけるC群を代表する形質として P.N.L. (Y) を選びその D.W. (X) との関係を求めるとき、

$$Y = 0.2491 X^{0.9191}$$

となる（第6図）。この関係はC群に属する他の形質、P.Oc.L., P.Or.L. をも含めて、先に



第6図 D.W. (X) と P.N.L. (Y) の関係

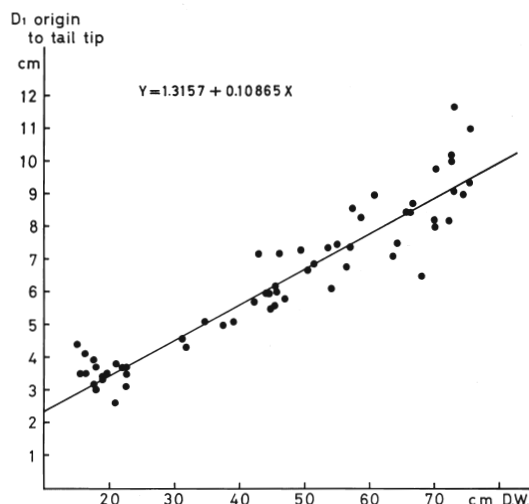
Fig. 6 The relationship between D.W. (X) and P.N.L. (Y)

D群の P2.L.において観察されたのと同様な指数曲線関係であるが、次の2点においてD群と異なる。(1)雌に対してもあてはまるここと、(2)相対成長係数( $\alpha$ )がD群では

$\alpha=1.1349>1.0$ であり優成長(positive allometry, tachyauxesis)を示すのに対して、C群では $\alpha=0.9191<1.0$ であり劣成長(negative allometry, bradyauxesis)を示すことである。

以上をまとめるとF<sub>2</sub>はある形質の成長に関して、雄の成熟にともない促進的に働き、またある形質の成長に関しては、雄・雌の成熟にともない抑制的に働くと考えられる。また、逆にF<sub>2</sub>に規制される形質はドブカスペの成熟を知るのに適した形質といえる。

最後にAからDまでの群に属さなかつた形質を代表してD1-T.T.を選び、そのD.W.と



第7図 D.W. (X) と D1-T.T. (Y) の関係

Fig. 7 The relationship between D.W. (X) and D1-T.T. (Y)

の関係を第7図に示した。これらの形質に共通することは、いずれもその形は小さく、そのD.W.との関係においてもバラツキが大きいことである。したがつてこれらの形質に対しては測定方法の改良により精度を高めた測定が必要であろう。

#### IV. 要 約

開洋丸のトロール操業によって、日本海沖合から得られたドブカスベの外部形態を測定し、その計測形質を因子分析法によつて分析した。得られた結果の概略は次のとおりである。

- 1) 各形質の大きさに影響を与える因子は2つある。すなわち因子F<sub>1</sub>はすべての形質に大きく影響する一般的な成長の因子である。因子F<sub>2</sub>は成熟の因子であり、雄の成熟とともに特定の形質の成長を促進させる働きと、逆に雄・雌の成熟にともない、ある形質の成長を抑制する働きをもつ。
- 2) これらの2つの因子により、雄の27の形質を群別すると、次の4つのグループにわかれる。  
 A群；T.L.他5形質。この群に属する形質の成長はF<sub>1</sub>によつてのみ説明される。  
 B群；D.W.他7形質。ほとんどF<sub>1</sub>によつて説明されるが、F<sub>2</sub>によつてわずかに成長を抑制される。  
 C群；P.N.L.他3形質。F<sub>1</sub>とF<sub>2</sub>により説明される。F<sub>2</sub>によつて成長が抑制される。  
 D群；C.L.他3形質。F<sub>1</sub>とF<sub>2</sub>により説明される。F<sub>2</sub>によつて成長が促進される。
- 3) 上記のグループに属さない形質(D1-T.T.他4形質)も存在したが、これらはさらに精密な測定の結果に基づいて検討する必要があろう。

#### 引 用 文 献

- HUBBS, C. L. and R. ISHIYAMA (1969). Method for taxonomic study and description of skate (Rajidae). *Copeia*, 1969 (3) : 483-491.
- ISHIYAMA, R. (1958). Studies on the rajid fishes (Rajidae) found in the waters around Japan. *J. Shimonoseki Coll. Fish.*, 7 (2, 3) : 193-394
- (1967). Fauna Japonica/Rajidae (Pisces) Biogeogr. Soc. Japan., 82pp. 32 plates
- LAWLEY, D. N. and A. E. MAXWELL (1963). Factor analysis as a statistical method. Butterworth & Co.
- MATSAKIS, J. (1967) Étude par l'analyse factorielle des dimensions du corps des mâles, des femelles et des indifférences d'une population d'*Idotea vividis*, Isopode valvifère. *C. R. Acad. Soc., Paris*, (244) : 1082-1084
- 野中舜二 (1969). 一次直線回帰分析における各統計量行列。農林研究計算センター報告 (A 4) : 91-101.
- 岡田 勲・小林喜雄 (1968). 北洋魚類図説, 三省堂, 179 pp.
- 鳥居敏雄・高橋暁正・土肥一郎 (1969). 医学・生物学のための推計学, 東京大学出版会, 370 pp.
- 上野達治 (1965). 北海道近海の魚 8. カスベ(エイ)類. 北水試月報, 7 (2) : 402-420.
- 横田淹雄 (1952). 「サメ」、「エイ」類資源の研究 第一報 年令推定の一方法. 日本水産学会誌, 17 (10) : 321-325.

付表1 ドブカスベ(♂)の外部形態の測定値(cm)

**Appendix table. 1** Data of the bodily proportional measurements of  
*Bathyraja smirnovi* (♂) (cm)

specimen No.	Station No.	1 T.L.	2 D.W.	3 D.L.	4 Ta.L.	5 T.W.	6 T.D.	7 D1.-T.T.	8 Post.D.L.	9 D1.L.	10 D2.L.	11 D1.H.	12 D2.H.
1	22	55.9	44.0	32.8	23.5	2.6	1.8	6.0	0.6	2.1	2.2	1.4	1.3
2	23	57.9	44.8	32.4	24.9	2.7	2.0	5.5	1.2	2.0	1.9	1.3	1.4
3	22	58.0	42.9	32.7	23.8	2.8	1.8	7.2	2.1	2.4	2.6	1.7	1.8
4	23	52.0	39.0	30.0	22.5	2.7	1.6	5.1	1.1	2.0	1.9	1.6	1.3
5	10	74.2	57.4	45.5	30.4	3.2	2.3	8.6	2.3	2.8	2.9	2.3	2.5
6	10	69.6	51.5	38.6	29.3	3.1	2.1	6.9	1.8	2.5	2.5	1.8	1.8
7	10	60.6	47.1	34.8	25.3	2.9	2.0	5.8	1.1	2.1	2.1	1.5	1.6
8	10	87.2	70.2	53.0	35.5	3.8	2.9	8.0	1.4	3.2	3.1	3.5	3.0
9	10	99.8	75.4	56.8	43.4	3.9	2.9	11.0	2.5	4.1	3.8	3.2	3.2
10	11	93.8	72.4	54.6	41.3	3.9	2.5	10.2	2.0	3.9	3.6	2.8	2.8
11	11	87.8	66.8	48.0	38.8	4.2	2.8	8.7	2.2	2.9	3.1	2.9	2.5
12	11	101.8	77.5	57.6	45.2	5.1	3.2	10.0	2.6	3.5	3.7	3.2	3.5
13	11	79.0	58.8	44.4	38.6	3.5	2.6	8.3	1.6	2.5	2.8	2.2	2.1
14	11	67.7	53.4	40.0	27.5	3.1	2.1	7.4	1.3	2.9	3.0	1.9	2.1
15	11	86.0	66.2	48.8	37.0	3.7	2.9	8.4	2.1	3.0	3.2	2.6	2.4
16	12	58.0	45.8	35.4	23.7	2.7	1.8	6.0	1.2	2.2	2.2	1.6	1.8
17	12	72.6	57.0	42.3	30.7	3.3	2.4	7.4	2.3	2.6	2.4	2.4	2.2
18	12	94.7	75.6	54.8	40.8	5.1	2.9	9.4	1.8	3.3	3.4	3.0	2.9
19	27	51.8	42.2	31.3	22.1	2.7	1.6	5.7	1.3	2.1	2.1	1.4	1.6
20	27	60.8	45.6	34.7	25.7	3.1	2.0	6.2	1.6	2.3	2.1	1.7	1.7
21	20	25.4	18.9	14.8	11.9	1.4	0.8	3.3	0.9	1.0	1.0	0.8	0.8
22	20	29.9	22.0	16.8	14.1	1.5	0.9	3.7	1.1	1.3	1.1	0.7	0.9
23	20	24.4	17.8	13.3	12.8	1.2	0.8	3.2	1.0	0.9	1.0	0.6	0.8
24	20	45.0	34.7	26.6	19.5	2.2	1.5	5.1	1.3	1.8	1.6	1.3	1.3
25	20	30.8	22.6	17.0	14.4	1.6	0.9	3.5	1.1	1.1	1.0	0.8	0.9
26	20	30.8	22.5	17.3	14.2	1.3	1.0	3.7	1.1	1.2	1.0	0.8	0.9
27	20	25.0	18.0	13.4	12.7	1.1	0.8	3.7	1.2	1.1	1.1	0.8	0.9
28	20	21.1	15.0	10.8	11.6	1.1	0.8	4.4	2.1	0.9	1.0	0.5	0.6
29	20	26.3	19.7	15.0	12.4	1.2	0.9	3.5	1.1	1.0	1.1	0.8	0.8
30	20	26.8	19.1	14.6	12.9	1.4	0.8	3.4	1.0	1.1	1.0	0.7	0.7
31	20	22.7	15.6	12.0	11.4	1.1	0.7	3.5	1.6	0.9	0.9	0.6	0.7
32	20	28.4	20.9	15.7	13.4	1.4	0.9	3.8	1.2	1.2	1.1	0.8	0.8
33	20	37.0	27.7	21.2	16.8	1.7	1.2	3.9	0.9	1.4	1.1	1.2	1.2
34	20	24.4	18.0	13.3	11.6	1.2	0.8	3.0	1.2	0.9	0.8	0.7	0.8
35	20	55.4	45.6	32.8	23.9	2.8	2.0	5.6	1.4	1.9	2.1	1.5	1.7
36	19	23.4	16.6	12.7	11.4	1.1	0.8	3.5	0.7	1.1	0.8	0.7	0.7
37	19	27.9	20.9	16.6	12.4	1.3	1.0	2.6	0.6	0.8	0.9	0.7	0.9
38	19	22.2	16.2	11.4	11.9	1.2	0.8	4.1	1.3	1.0	0.9	0.6	0.6
39	19	66.8	49.6	38.2	28.0	3.3	2.1	7.3	1.8	2.7	2.4	2.0	1.9
40	19	69.2	50.5	39.8	27.8	3.7	2.1	6.7	1.6	2.5	2.6	1.6	1.6
41	18	57.9	44.5	32.8	25.4	3.0	1.9	6.0	1.1	2.2	2.3	1.5	1.7
42	18	47.8	37.4	27.6	22.0	2.5	1.5	5.0	1.5	1.9	1.9	1.8	1.2
43	18	42.6	32.1	24.6	18.4	2.0	1.3	4.3	0.9	1.5	1.4	1.2	1.2
44	18	30.6	22.6	17.0	13.4	1.5	0.7	3.1	0.6	1.3	1.0	0.8	0.9
45	14	97.8	73.0	53.0	43.1	4.9	2.8	11.7	2.0	3.7	3.9	3.2	3.6
46	9	80.2	63.8	45.6	34.2	3.7	2.3	7.1	2.1	2.9	2.5	2.2	1.4
47	9	84.6	64.2	44.6	37.2	3.6	2.6	7.5	1.7	2.9	2.9	1.9	2.1
48	9	62.4	46.3	35.3	26.5	2.9	2.0	7.2	1.8	2.3	2.2	1.6	1.6
49	9	91.5	72.2	52.0	38.6	3.7	2.8	8.2	1.5	3.2	2.8	2.8	1.6
50	9	41.3	31.2	24.8	17.1	2.0	1.3	4.6	1.4	1.6	1.6	1.1	3.1
51	11	79.2	63.1	46.0	32.1	3.5	2.4	6.5	1.3	2.6	2.4	2.0	1.0
52	11	83.5	65.7	47.5	34.5	3.8	2.6	8.4	1.7	3.1	2.9	2.5	2.1
53	11	73.0	56.6	43.0	29.5	3.4	1.9	6.8	1.8	2.4	2.5	1.8	2.3
54	11	75.1	55.0	41.5	32.3	3.5	2.4	7.5	1.6	2.7	2.7	1.9	2.2
55	11	83.6	60.8	45.8	34.0	4.4	2.6	9.0	2.0	3.4	3.2	2.3	2.4
56	11	93.8	74.5	53.6	38.9	4.6	2.5	9.0	2.3	3.4	3.5	3.0	2.9
57	10	70.8	54.2	39.5	28.8	3.0	2.0	6.1	1.5	2.2	2.2	2.1	2.2
58	10	91.1	73.0	54.6	36.7	4.8	2.7	9.1	1.8	3.4	4.0	3.6	3.8
59	10	90.8	70.3	52.4	39.0	3.7	2.6	9.8	1.8	3.8	3.5	2.5	3.0
60	10	91.5	70.1	53.0	37.0	5.0	2.6	8.2	1.5	3.1	3.3	2.7	2.9

13 Bt.F.T.P1.	14 P2.W.	15 P2.L.	16 H.L.	17 P.Oc.L.	18 P.Or.L.	19 P.N.L.	20 In.ND.	21 M.W.	22 E.L.	23 Bt.Or.	24 Bt.Sp.	25 Sp.L.	26 OV.1G.	27 C.L.
1.3	5.5	6.1	13.6	9.3	9.6	7.5	5.0	5.5	1.6	5.5	4.2	2.0	12.4	3.8
1.8	5.6	6.3	14.2	10.4	10.1	8.1	4.0	4.8	1.5	5.2	4.3	2.0	12.6	6.3
1.6	5.4	5.7	14.1	10.4	9.8	8.5	4.0	4.9	1.4	5.3	4.7	2.0	12.2	5.7
1.5	4.8	6.0	13.2	9.9	9.8	8.4	4.2	4.5	1.4	4.8	4.2	2.0	11.6	5.2
2.2	7.5	8.4	19.1	13.5	14.0	11.5	6.1	7.1	1.9	6.9	5.7	2.7	17.7	8.8
1.7	7.4	6.9	16.8	12.0	13.2	10.1	5.3	6.1	2.1	6.4	5.2	2.6	15.3	7.4
2.0	6.1	6.3	15.2	10.9	11.7	8.5	5.1	6.0	1.6	5.6	4.9	2.2	14.3	5.4
2.5	8.4	11.7	22.6	15.5	15.6	12.7	7.2	8.9	2.2	7.8	7.2	3.6	21.1	21.7
2.4	8.8	13.6	23.0	16.2	15.6	12.4	7.6	9.5	2.6	8.7	7.8	3.6	22.0	22.7
2.0	8.5	11.5	20.6	14.1	14.4	11.2	6.5	9.0	2.8	9.0	7.3	3.8	20.3	19.5
1.9	8.2	10.5	20.0	13.0	15.0	11.9	6.5	9.0	2.3	7.3	7.5	3.2	19.2	17.5
2.9	9.6	13.5	23.2	16.3	16.6	13.0	7.6	10.3	2.8	9.4	8.1	3.6	21.4	23.9
3.0	7.4	8.4	18.7	12.6	12.0	11.0	7.4	7.0	2.5	7.3	6.2	3.1	17.6	10.2
2.0	7.8	7.5	17.5	12.8	12.6	10.5	5.6	6.4	2.0	6.6	5.3	2.2	15.3	7.8
2.3	8.2	10.6	20.5	14.1	13.7	11.4	7.1	8.6	2.1	7.4	7.0	3.3	19.9	13.0
1.6	7.2	7.0	14.9	10.5	9.5	8.5	5.1	4.8	1.6	5.3	4.7	2.1	13.2	6.5
2.1	7.6	8.0	18.7	13.2	13.3	10.4	5.5	6.4	1.8	6.5	5.7	2.7	16.0	8.2
3.2	10.1	14.8	21.8	15.0	14.1	11.4	7.8	10.1	2.2	8.7	7.5	2.7	22.1	22.9
1.8	5.5	6.4	13.2	9.7	9.8	7.9	4.4	4.9	1.5	5.0	4.3	1.9	12.0	5.3
1.9	6.6	7.2	15.1	11.2	11.2	9.2	4.8	5.5	1.8	5.5	4.7	2.1	13.8	6.2
0.9	2.3	2.9	6.3	4.5	4.5	3.7	2.0	2.2	0.9	2.4	2.2	0.7	5.7	1.9
0.9	2.8	3.6	7.4	5.3	5.1	4.1	2.1	2.6	0.8	2.6	2.2	1.1	6.7	2.1
0.8	2.3	2.5	5.8	4.2	4.2	3.4	2.0	2.2	0.8	2.1	1.8	0.8	5.5	1.9
1.3	5.0	5.1	11.3	8.2	8.0	6.8	3.8	4.1	1.2	4.3	3.5	1.5	10.6	4.0
0.8	2.6	2.6	7.0	5.0	4.8	4.2	2.4	2.5	1.0	2.4	2.2	1.0	6.5	2.3
0.8	2.3	3.4	7.5	5.6	5.5	4.7	2.3	2.7	1.1	2.6	2.1	1.1	6.8	2.5
0.6	2.2	2.5	5.5	5.0	4.1	3.5	2.0	1.9	0.9	2.2	1.8	0.7	5.2	2.0
0.5	1.9	2.2	4.4	3.1	3.1	2.5	1.5	1.8	0.7	1.8	1.6	0.6	4.2	1.6
1.0	2.4	2.5	6.3	4.5	4.7	3.8	2.1	2.8	0.8	2.2	2.1	0.7	6.3	2.1
0.7	2.4	2.6	6.5	4.6	4.6	3.8	1.9	2.1	0.8	2.1	1.9	0.8	5.6	1.8
0.7	2.0	2.1	5.1	3.6	3.7	3.2	1.7	1.9	0.7	1.9	1.8	0.8	4.8	1.7
0.8	2.7	2.9	6.6	4.9	4.7	4.2	2.4	2.3	0.8	2.4	2.0	0.9	6.3	2.1
1.2	3.5	3.4	8.9	6.5	6.5	5.5	3.3	3.1	1.0	3.1	2.6	1.1	8.2	2.8
0.7	2.2	2.3	6.7	4.1	4.1	3.4	2.0	2.2	0.6	1.9	1.9	0.7	5.3	1.7
1.7	5.8	5.9	13.6	9.8	9.4	8.0	4.2	4.7	1.5	4.6	4.2	1.9	13.1	5.3
0.9	2.0	2.0	5.4	3.7	4.1	3.2	1.7	2.0	0.8	1.9	1.7	0.7	5.0	1.6
1.0	2.8	2.6	6.9	5.0	4.8	4.1	2.1	2.2	1.0	2.5	2.2	1.0	6.4	2.0
0.6	2.3	2.3	4.6	3.2	3.2	2.7	1.7	1.7	0.8	1.9	1.7	0.6	4.5	1.7
2.0	6.8	7.3	15.7	11.5	11.2	9.3	5.9	6.1	1.6	6.5	5.5	2.4	14.9	6.9
2.0	7.5	7.1	17.2	12.9	12.1	10.4	5.3	6.0	1.8	5.8	5.5	2.6	15.5	6.8
1.6	5.7	6.2	14.0	10.4	10.5	8.4	5.2	5.0	1.6	5.2	4.5	2.1	12.8	6.3
1.4	4.5	4.3	11.5	8.7	8.6	7.3	4.4	4.2	1.7	4.3	3.9	1.7	11.8	4.0
1.4	4.6	4.7	10.2	7.4	7.6	6.2	3.4	4.0	1.5	3.9	3.4	1.6	10.3	3.6
0.7	3.0	3.5	7.5	5.6	5.6	4.5	2.6	2.8	1.1	2.7	2.6	1.0	7.4	2.5
3.1	10.5	13.8	21.5	14.1	13.6	11.6	7.6	9.3	2.4	8.1	7.6	3.9	22.4	23.4
2.2	9.4	11.4	18.9	13.8	12.1	10.5	6.6	7.5	2.1	6.5	6.0	3.0	18.3	14.0
2.4	7.3	10.4	18.3	14.0	12.7	10.6	6.5	7.8	2.1	7.5	6.5	3.3	19.1	13.2
2.0	6.5	6.8	15.3	11.2	10.9	9.1	5.2	5.3	1.6	5.6	5.0	2.3	13.7	6.1
2.4	8.7	13.5	21.9	15.4	14.3	12.3	8.6	8.6	2.1	8.0	6.9	3.0	21.7	22.0
1.7	4.3	4.6	10.7	7.7	7.8	6.7	4.1	4.1	1.2	3.8	3.2	1.4	9.7	3.4
2.0	8.6	9.5	19.2	13.7	13.9	11.0	6.1	7.6	1.8	7.3	6.7	3.0	17.3	12.4
2.2	8.0	10.3	19.5	14.4	13.9	11.5	6.6	7.6	1.8	8.0	6.6	3.1	19.8	12.4
2.1	7.2	9.0	18.4	12.9	12.9	10.6	6.3	6.6	1.8	6.5	5.9	2.2	16.6	11.4
2.8	8.0	7.5	17.7	12.9	12.4	10.4	6.5	6.8	1.8	6.5	5.5	2.8	15.8	8.5
2.6	9.1	9.2	19.7	14.0	13.7	11.4	6.3	7.7	2.3	7.4	6.4	3.0	18.6	12.0
2.9	10.7	12.6	21.9	15.3	13.9	11.8	7.3	9.5	2.7	8.5	7.3	3.9	21.6	22.6
1.7	7.8	7.8	16.5	12.6	12.1	10.3	5.8	6.4	1.8	5.7	5.3	2.4	15.7	7.5
2.9	10.0	12.0	21.4	15.0	14.2	11.6	7.5	9.7	2.5	8.3	7.5	3.8	21.7	21.7
2.3	8.8	11.6	22.4	15.4	15.1	12.6	7.4	8.1	2.2	8.0	7.0	3.4	20.7	17.8
2.4	9.8	12.6	22.5	15.6	15.6	12.4	7.3	8.3	2.5	8.3	7.3	2.8	19.5	21.2

付表2 ドブカスベ(♂)の27の計測形質間の相関係数行列

Appendix table. 2 Correlation matrix of 27 characters measured  
for Japanese *Bathyraja smirnovi* (♂)

	1	2	3	4	5	6	7	8	9	10	11	12
1 T. L.	1.0000											
2 D. W.	.9973	1.0000										
3 D. L.	.9964	.9977	1.0000									
4 Ta. L.	.9950	.9907	.9869	1.0000								
5 T. W.	.9721	.9693	.9692	.9638	1.0000							
6 T. D.	.9839	.9819	.9806	.9795	.9570	1.0000						
7 D 1.-T. T.	.9578	.9478	.9510	.9644	.9307	.9406	1.0000					
8 Post D. L.	.6975	.6812	.6822	.7175	.6750	.6860	.7771	1.0000				
9 D 1. L.	.9769	.9726	.9758	.9744	.9433	.9514	.9748	.7075	1.0000			
10 D 2. L.	.9733	.9695	.9733	.9691	.9611	.9548	.9760	.7162	.9796	1.0000		
11 D 1. H.	.9557	.9596	.9606	.9535	.9379	.9426	.9325	.6923	.9438	.9501	1.0000	
12 D 2. H.	.8617	.8577	.8691	.8571	.8641	.8385	.8794	.4026	.8672	.9038	.8889	1.0000
13 Bt. F. T. P 1.	.9369	.9337	.9359	.9262	.9435	.9389	.9017	.6352	.9024	.9217	.8968	.8606
14 P2. W.	.9783	.9794	.9795	.9627	.9737	.9575	.9283	.6679	.9531	.9550	.9327	.8461
15 P 2. L.	.8367	.9782	.9770	.9758	.9532	.9474	.9350	.6711	.9537	.9445	.9531	.8512
16 H. L.	.9751	.9774	.9962	.9789	.9645	.9812	.9402	.6734	.9690	.9649	.9491	.8576
17 P. Oc. L.	.9862	.9866	.9898	.9697	.9575	.9754	.9244	.6654	.9772	.9555	.9329	.8397
18 P. Or. L.	.9792	.9783	.9836	.9635	.9505	.9730	.9201	.6610	.9543	.9487	.9296	.8414
19 P. N. L.	.9817	.9801	.9854	.9644	.9520	.9749	.9236	.6650	.9558	.9515	.9310	.8417
20 In. N. D.	.9813	.9816	.9821	.9712	.9512	.9699	.9280	.6382	.9509	.9485	.9396	.8459
21 M. W.	.9905	.9914	.9893	.9875	.9697	.9743	.9485	.6639	.9659	.9694	.9678	.8761
22 E. L.	.9634	.9591	.9616	.9613	.9443	.9385	.9282	.6679	.9466	.9549	.9181	.8558
23 Bt. Or.	.9925	.9919	.9937	.9847	.9669	.9776	.9537	.6775	.9764	.9731	.9475	.8587
24 Bt. Sp.	.9955	.9943	.9943	.9888	.9734	.9810	.9513	.6932	.9701	.9722	.9374	.8616
25 Sp. L.	.9793	.9763	.9758	.9750	.9423	.9636	.9440	.6881	.9642	.9625	.9357	.8521
26 Ov. 1 G.	.9949	.9963	.9950	.9870	.9660	.9949	.9484	.6749	.9724	.9688	.9616	.8620
27 C. L.	.9123	.8854	.9090	.9242	.8971	.8744	.8911	.6503	.8983	.8977	.9394	.8405

.9404	1.0000													
.9109	.9549 1.0000													
.9358	.9788 .9619 1.0000													
.9304	.9751 .9492 .9735 1.0000													
.9107	.9614 .9322 .9684 .9902 1.0000													
.9255	.9685 .9350 .9709 .9945 .9939 1.0000													
.9454	.9665 .9589 .9663 .9766 .9640 .9753 1.0000													
.9333	.9691 .9793 .9649 .9688 .9656 .9630 .9722 1.0000													
.9050	.9450 .9294 .9520 .9437 .9425 .9431 .9410 .9576 1.0000													
.9340	.9705 .9639 .9884 .9839 .9799 .9786 .9761 .9850 .9634 1.0000													
.9307	.9736 .9708 .9901 .9818 .9797 .9797 .9762 .9907 .9591 .9908 1.0000													
.9196	.9567 .9417 .9694 .9625 .9549 .9597 .9502 .9715 .9578 .9720 .9766 1.0000													
.9407	.9768 .9757 .9911 .9850 .9754 .9804 .9848 .9897 .9559 .9881 .9917 .9775 1.0000													
.8418	.8795 .9629 .8888 .8628 .8495 .8477 .8843 .9326 .8863 .8968 .9123 .8879 .9114 1.0000													
13	14	15	16	17	18	19	20	21	22	23	24	25	26	27